

Рис. 5.

Вероятность того, что некоторое тело не будет вытеснено, равна $G_0 = 1 - P_0$, а вероятность того, что ни одно из n тел, сжатых силой \bar{N} , не будет вытеснено, $G(\bar{N}) = G_0^n = (1 - P_0)^n$. Тогда вероятность P нарушения равновесия системы $P(\bar{N}) = 1 - G(\bar{N})$.

На рис. 5 приведен график зависимости $G(2\bar{N}\Delta)$ (кривые 1—4 соответствуют числу тел 1, 2, 5 и 10). Из него видно, что с увеличением числа тел n (длины цепочки) вероятность выдерживать большие сжимающие силы (несущая способность системы тел) быстро снижается.

Полученные результаты могут быть использованы при построении моделей взаимодействия рабочих органов лесных машин с круглыми лесоматериалами.

СПИСОК ЛИТЕРАТУРЫ

- [1]. Андронов В. В. О формировании пакета круглых лесоматериалов сжатием // Лесн. журн.—1975.—№ 2.—С. 59—64.—(Изв. высш. учеб. заведений). [2]. Вентцель Е. С., Овчаров Л. А. Теория вероятностей и ее инженерные приложения.—М.: Наука, 1988.—480 с. [3]. Таубер Б. А. Грейферные механизмы.—М.: Машиностроение, 1985.—272 с. [4]. Труфанов А. А. Некоторые вопросы теории взаимодействия сплотовых машин и сплачиваемых пучков бревен: Автореф. дис... канд. техн. наук.—Казань, 1957.—22 с. [5]. Феодосьев В. И. Избранные задачи и вопросы по сопротивлению материалов.—М.: Наука, 1967.—376 с. [6]. Шимкович Д. Г. К определению усилий для разрушения «балок», образующихся при зачерпывании грейфером круглых лесоматериалов // Науч. тр. / МЛТИ.—М.: МЛТИ, 1987.—Вып. 197.—С. 22—36.

Поступила 5 ноября 1990 г.

УДК 624.072.233.5

ТЕОРЕТИЧЕСКИЕ ОСНОВЫ РАСЧЕТА НАГЕЛЯ В ДРЕВЕСИНЕ

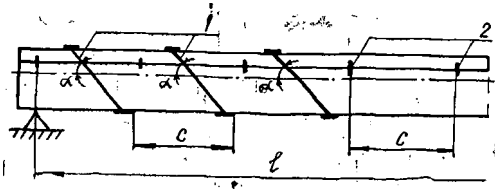
В. П. СТУКОВ

Архангельский лесотехнический институт

Нагельные соединения элементов деревянных и комбинированных конструкций получили широкое распространение благодаря простоте и надежности в работе, а также возможности механизации технологических процессов их изготовления. Они могут быть выполнены из различных материалов напрягаемыми (тип 1) и ненапрягаемыми (тип 2) — рис. 1.

Нагель в древесине работает в сложном напряженно-деформированном состоянии. В общем случае его можно рассматривать как балку, лежащую на упругом основании и нагруженную на конце изгибающим моментом M_0 , поперечной силой Q_0 и растягивающей силой N_0 .

Рис. 1. Схема размещения нагелей: 1 — напрягаемых, 2 — ненапрягаемых; l — пролет балки; c — расстояние между нагелями



Если изгиб балки сопровождается действием осевых сил или сдвигом, задача получения уравнений эюр прогибов y , углов поворота φ , изгибающих моментов M и поперечных сил Q значительно усложняется. Непосредственное дифференцирование общего интеграла дифференциального уравнения упругой линии балки на упругом основании дает результаты, которые сложно использовать в силу громоздкости формул и большого числа промежуточных расчетов.

Однородное дифференциальное уравнение упругой оси балки, лежащей на упругом основании и работающей в условиях сложного изгиба, имеет вид [1]

$$EI \frac{d^4 y}{dx^4} - N_0 \frac{d^2 y}{dx^2} + Ky = 0, \quad (1)$$

где E, I — модуль упругости материала и момент инерции площади поперечного сечения балки; ..

y — прогиб балки;

K — коэффициент жесткости линейного упругого основания — реакция, приходящаяся на единицу длины балки при прогибе, равном единице, $K = K_0 d$ (K_0 — коэффициент постели; d — диаметр нагеля).

Полагаем, что основание обладает всеми свойствами винклеровского упругого основания. Для нахождения общего интеграла уравнения (1) используется характеристическое уравнение

$$EIr^4 - N_0 r^2 + K = 0. \quad (2)$$

Решение уравнения (1) зависит от корней характеристического уравнения. Параметры EI, N_0 и K изменяются в широких пределах в зависимости от материала нагеля, размеров его поперечного сечения, угла наклона к продольным волокнам древесины. Характер корней биквадратного уравнения (2) и путь отыскания общего интеграла уравнения (1) зависят от дискриминанта

$$D = N_0^2 - 4KEI. \quad (3)$$

В таблице представлена информация о дискриминанте D при использовании нагелей типа 1, устанавливаемых с различными углами наклона α к продольным волокнам древесины.

При формировании уравнения (1) в работе [1] использовано выражение для растягивающей силы

$$N_0 = KEI/(G\omega), \quad (4)$$

где G, ω — модуль сдвига материала и приведенная площадь поперечного сечения балки.

Подставив значение N_0 (4) в (3), получим выражение для дискриминанта

$$D = \sqrt{KEI} - 2G\omega. \quad (5)$$

Рассмотрим случай $D < 0$ (см. таблицу), т. е. $2G\omega > \sqrt{KEI}$.

Вид напрягаемой арматуры, используемой в нагельном соединении	Дискриминант D при угле наклона нагеля α , град		
	45	60	90
Стержни из стали классов А-IV, А-V	<0	<0	<0
Пучки малые и большие из высокопрочной проволоки классов В-II, В _р -II	<0	<0	<0
Арматурные канаты классов:			
К-7	>0	>0	<0
К-19	>0	>0	<0
Стеклопластиковая арматура (СПА)*	>0	>0	<0

* 6 СПА в арматурном элементе.

Согласно [1] общий интеграл уравнения (1)

$$y_x = e^{\alpha x} C_1 \cos \beta x + e^{\alpha x} C_2 \sin \beta x + e^{-\alpha x} C_3 \cos \beta x + e^{-\alpha x} C_4 \sin \beta x, \quad (6)$$

где

$$\alpha = \sqrt[4]{K/(4EI)} \sqrt{1 + \gamma}; \quad (7)$$

$$\beta = \sqrt[4]{K/(4EI)} \sqrt{1 - \gamma}; \quad (8)$$

$$\gamma = \frac{1}{2} \sqrt{N_0/(G\omega)}; \quad (9)$$

C_1, C_2, C_3, C_4 — постоянные интегрирования, определяемые в зависимости от условий на концах загруженного участка балки.

Для получения уравнений эпюр y, φ, M и Q целесообразно использовать метод начальных параметров.

Рассмотрим балку на упругом основании, загруженную на конце изгибающим моментом M_0 , поперечной силой Q_0 и растягивающей силой N_0 (рис. 2). Начало координат поместим на левом конце балки.

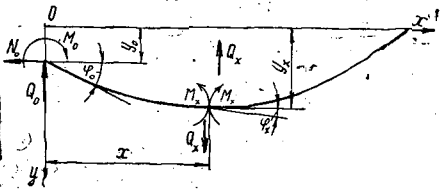


Рис. 2. Расчетная схема балки на упругом основании в случае сложного изгиба

При таком расположении координатных осей знаки деформаций и усилий считаем положительными. Введем обозначение

$$t = \alpha/\beta, \quad (10)$$

откуда

$$\alpha = t\beta. \quad (11)$$

Подставив значение α в формулу (6), получим

$$y_x = e^{t\beta x} C_1 \cos \beta x + e^{t\beta x} C_2 \sin \beta x + e^{-t\beta x} C_3 \cos \beta x + e^{-t\beta x} C_4 \sin \beta x. \quad (12)$$

Произведем дифференцирование (12) по x и запишем уравнения эпюр φ_x, M_x и Q_x :

$$\varphi_x = \frac{dy}{dx} = \beta [C_1(-e^{t\beta x} \sin \beta x + t e^{t\beta x} \cos \beta x) + C_2(e^{t\beta x} \cos \beta x + t e^{t\beta x} \sin \beta x) + C_3(-e^{-t\beta x} \sin \beta x - t e^{-t\beta x} \cos \beta x) + C_4(e^{-t\beta x} \cos \beta x - t e^{-t\beta x} \sin \beta x)]; \quad (13)$$

$$M_x = -EI \frac{d^2y}{dx^2} = EI\beta^2 \{C_1[-(t^2 - 1)e^{t\beta x} \cos \beta x + 2te^{t\beta x} \sin \beta x] - C_2[(t^2 - 1)e^{t\beta x} \sin \beta x + 2te^{t\beta x} \cos \beta x] - C_3[(t^2 - 1)e^{-t\beta x} \cos \beta x + 2te^{-t\beta x} \sin \beta x] - C_4[(t^2 - 1)e^{-t\beta x} \sin \beta x - 2te^{-t\beta x} \cos \beta x]\}; \quad (14)$$

$$Q_x = -EI \frac{d^3y}{dx^3} = EI\beta^3 \{C_1[(3t^2 - 1)e^{t\beta x} \sin \beta x - t(t^2 - 3)e^{t\beta x} \cos \beta x] - C_2[(3t^2 - 1)e^{t\beta x} \cos \beta x + t(t^2 - 3)e^{t\beta x} \sin \beta x] + C_3[(3t^2 - 1)e^{-t\beta x} \sin \beta x + t(t^2 - 3)e^{-t\beta x} \cos \beta x] - C_4[(3t^2 - 1)e^{-t\beta x} \cos \beta x - t(t^2 - 3)e^{-t\beta x} \sin \beta x]\}. \quad (15)$$

Выразим постоянные интегрирования через y , φ , M , Q в начале координат, т. е. через начальные параметры, и подставим

$$C_1 = y_0 - C_3 \quad (16)$$

из выражения (12) в φ_0 , M_0 и Q_0 (при $x = 0$ $e^0 = \cos 0 = 1$, $\sin 0 = 0$):

$$\varphi_0 = \beta (ty_0 + C_2 - 2tC_3 + C_4); \quad (17)$$

$$M_0 = EI\beta^2 [y_0(1 - t^2) - 2tC_2 + 2tC_4]; \quad (18)$$

$$Q_0 = EI\beta^3 [y_0t(3 - t^2) - (3t^2 - 1)C_2 - 2t(3 - t^2)C_3 - (3t^2 - 1)C_4]. \quad (19)$$

Запишем уравнения (17) - (19) в матричной форме

$$\begin{vmatrix} -1 & -2t & 1 \\ -2t & 0 & 2t \\ -3t^2 + 1 & -2t(3 - t^2) & -3t^2 + 1 \end{vmatrix} \times \begin{vmatrix} C_2 \\ C_3 \\ C_4 \end{vmatrix} = \begin{vmatrix} \frac{\varphi_0}{\beta} - ty_0 \\ \frac{M_0}{EI\beta^2} - (1 - t^2)y_0 \\ \frac{Q_0}{EI\beta^3} - t(3 - t^2)y_0 \end{vmatrix} \quad (20)$$

или

$$\vec{AC} = \vec{H}. \quad (20')$$

Решение системы уравнений (20) относительно C_2 , C_3 , C_4 имеет вид

$$\vec{C} = A^{-1}\vec{H}, \quad (21)$$

где A^{-1} — матрица, обратная матрице A ,

или

$$\vec{C} = \begin{vmatrix} C_2 \\ C_3 \\ C_4 \end{vmatrix} = \begin{vmatrix} \frac{3 - t^2}{4(1 + t^2)} & \frac{1}{4t} & -\frac{1}{4(1 + t^2)} \\ -\frac{3t^2 + 1}{4t(1 + t^2)} & 0 & -\frac{1}{4t(1 + t^2)} \\ \frac{3 - t^2}{4(1 + t^2)} & \frac{1}{4t} & -\frac{1}{4(1 + t^2)} \end{vmatrix} \times \begin{vmatrix} \frac{\varphi_0}{\beta} - ty_0 \\ \frac{M_0}{EI\beta^2} - (1 - t^2)y_0 \\ \frac{Q_0}{EI\beta^3} - t(3 - t^2)y_0 \end{vmatrix} =$$

$$= \begin{vmatrix} \frac{-t^4+1}{4t(1+t^2)} y_0 + \frac{3-t^2}{4(1+t^2)} \frac{1}{\beta} \varphi_0 - \frac{1}{4t} \frac{1}{EI\beta^2} M_0 - \frac{1}{4(1+t^2)} \frac{1}{EI\beta^3} Q_0 \\ \frac{1}{2} y_0 + \frac{-3t^2+1}{4t(1+t^2)} \frac{1}{\beta} \varphi_0 - \frac{1}{4t(1+t^2)} \frac{1}{EI\beta^2} Q_0 \\ \frac{t^4-1}{4t(1+t^2)} y_0 + \frac{3-t^2}{4(1+t^2)} \frac{1}{\beta} \varphi_0 + \frac{1}{4t} \frac{1}{EI\beta^2} M_0 - \frac{1}{4(1+t^2)} \frac{1}{EI\beta^3} Q_0 \end{vmatrix}. \quad (22)$$

Постоянную интегрирования C_1 найдем из выражений (12), (16) и (22):

$$C_1 = \frac{1}{2} y_0 + \frac{3t^2-1}{4t(1+t^2)} \frac{1}{\beta} \varphi_0 + \frac{1}{4t(1+t^2)} \frac{1}{EI\beta^3} Q_0. \quad (23)$$

Введем промежуточные обозначения:

$$K_1 = \frac{3t^2-1}{t(1+t^2)}; \quad K_2 = \frac{2}{t(1+t^2)}; \quad K_3 = \frac{-t^4+1}{4t(1+t^2)}; \quad K_4 = \frac{3-t^2}{1+t^2}; \\ K_5 = \frac{1}{t}; \quad K_6 = \frac{2}{1+t^2}, \quad (24)$$

тогда выражения для постоянных интегрирования, C принимают вид

$$C_1 = \frac{1}{2} y_0 + \frac{K_1}{4\beta} \varphi_0 + \frac{K_2}{8EI\beta^3} Q_0; \quad (25)$$

$$C_2 = K_3 y_0 + \frac{K_4}{4\beta} \varphi_0 - \frac{K_5}{4EI\beta^2} M_0 - \frac{K_6}{8EI\beta^3} Q_0; \quad (26)$$

$$C_3 = \frac{1}{2} y_0 - \frac{K_1}{4\beta} \varphi_0 - \frac{K_2}{8EI\beta^3} Q_0; \quad (27)$$

$$C_4 = -K_3 y_0 + \frac{K_4}{4\beta} \varphi_0 + \frac{K_5}{4EI\beta^2} M_0 - \frac{K_6}{8EI\beta^3} Q_0. \quad (28)$$

Подставим значения постоянных интегрирования C в уравнение (12) и приведем подобные члены:

$$y_x = y_0 \left(\frac{e^{t\beta x} + e^{-t\beta x}}{2} \cos \beta x + 2K_3 \frac{e^{t\beta x} - e^{-t\beta x}}{2} \sin \beta x \right) + \\ + \frac{1}{\beta} \varphi_0 \left(\frac{K_1}{2} \frac{e^{t\beta x} - e^{-t\beta x}}{2} \cos \beta x + \frac{K_4}{2} \frac{e^{t\beta x} + e^{-t\beta x}}{2} \sin \beta x \right) - \\ - \frac{1}{EI\beta^2} M_0 \frac{K_5}{2} \frac{e^{t\beta x} - e^{-t\beta x}}{2} \sin \beta x - \frac{1}{EI\beta^3} Q_0 \left(\frac{K_6}{4} \frac{e^{t\beta x} + e^{-t\beta x}}{2} \sin \beta x - \right. \\ \left. - \frac{K_2}{4} \frac{e^{t\beta x} - e^{-t\beta x}}{2} \cos \beta x \right). \quad (29)$$

Введем обозначения

$$A_x = \frac{e^{t\beta x} + e^{-t\beta x}}{2} \cos \beta x + 2K_3 \frac{e^{t\beta x} - e^{-t\beta x}}{2} \sin \beta x = \operatorname{ch} t\beta x \cos \beta x + \\ + 2K_3 \operatorname{sh} t\beta x \sin \beta x; \quad (30)$$

$$B_x = \frac{1}{2} \left(K_1 \frac{e^{t\beta x} - e^{-t\beta x}}{2} \cos \beta x + K_4 \frac{e^{t\beta x} + e^{-t\beta x}}{2} \sin \beta x \right) = \\ = \frac{1}{2} (K_1 \operatorname{sh} t\beta x \cos \beta x + K_4 \operatorname{ch} t\beta x \sin \beta x); \quad (31)$$

$$C_x = \frac{1}{2} K_5 \frac{e^{t\beta x} - e^{-t\beta x}}{2} \sin \beta x = \frac{1}{2} K_5 \operatorname{sh} t\beta x \sin \beta x; \quad (32)$$

$$D_x = \frac{1}{4} \left(K_6 \frac{e^{t\beta x} + e^{-t\beta x}}{2} \sin \beta x - K_2 \frac{e^{t\beta x} - e^{-t\beta x}}{2} \cos \beta x \right) =$$

$$= \frac{1}{4} (K_6 \operatorname{ch} t\beta x \sin \beta x - K_2 \operatorname{sh} t\beta x \cos \beta x). \quad (33)$$

Подставим гиперболо-тригонометрические функции A_x, B_x, C_x, D_x (30) — (33) в уравнение (29), тогда уравнение эпюры прогибов примет вид

$$y_x = y_0 A_x + \frac{1}{\beta} \varphi_0 B_x - \frac{1}{EI\beta^2} M_0 C_x - \frac{1}{EI\beta^3} Q_0 D_x. \quad (34)$$

Уравнения эпюр φ_x, M_x и Q_x получим непосредственным дифференцированием выражения (34). Возьмем первые производные от функций влияния A_x, B_x, C_x, D_x :

$$\frac{dA_x}{dx} = \frac{1}{2} \beta \left[- (1 + t^2) \operatorname{ch} t\beta x \sin \beta x + \frac{1+t^2}{t} \operatorname{sh} t\beta x \cos \beta x \right]; \quad (35)$$

$$\frac{dB_x}{dx} = \frac{1}{2} \beta \left[\frac{1+t^2}{t} \operatorname{sh} t\beta x \sin \beta x + 2 \operatorname{ch} t\beta x \cos \beta x \right]; \quad (36)$$

$$\frac{dC_x}{dx} = \frac{1}{2t} \beta (\operatorname{sh} t\beta x \cos \beta x + t \operatorname{ch} t\beta x \sin \beta x); \quad (37)$$

$$\frac{dD_x}{dx} = \frac{1}{2t} \beta \operatorname{sh} t\beta x \sin \beta x. \quad (38)$$

Анализ выражений (35) — (38) и (30) — (33) позволяет установить взаимосвязь $\frac{dA_x}{dx}$ и D_x ; $\frac{dB_x}{dx}$ и A_x ; $\frac{dC_x}{dx}$ и B_x ; $\frac{dD_x}{dx}$ и C_x . Здесь имеются одни и те же тригонометрические и гиперболические функции при одинаковом их сочетании. Это позволяет представить выражения (35) — (38) в следующем виде:

$$\frac{dA_x}{dx} = -\beta (1 + t^2)^2 D_x; \quad (35')$$

$$\frac{dB_x}{dx} = \beta A_x; \quad (36')$$

$$\frac{dC_x}{dx} = \frac{\beta}{3t^2 - 1} [(1 + t^2) B_x + 2(1 - t^2) \operatorname{ch} t\beta x \sin \beta x]; \quad (37')$$

$$\frac{dD_x}{dx} = \beta C_x. \quad (38')$$

Подставив значения первых производных функций A_x, B_x, C_x, D_x в уравнение (34), получим уравнение эпюры углов поворота

$$\varphi_x = \frac{\varphi_0}{\beta} A_x - \frac{1}{EI\beta} M_0 \frac{1}{3t^2 - 1} [(1 + t^2) B_x + 2(1 - t^2) \operatorname{ch} t\beta x \sin \beta x] - \frac{1}{EI\beta^2} Q_0 C_x - \beta y_0 (1 + t^2)^2 D_x. \quad (39)$$

Вторые производные от функций A_x, B_x, C_x, D_x с учетом взаимосвязи $\frac{d^2 A_x}{dx^2}$ и C_x ; $\frac{d^2 B_x}{dx^2}$ и D_x ; $\frac{d^2 C_x}{dx^2}$ и A_x ; $\frac{d^2 D_x}{dx^2}$ и B_x имеют вид

$$\frac{d^2 A_x}{dx^2} = \beta^2 \left(- \frac{t^6 + 3t^4 + 3t^2 + 1}{1 + t^2} C_x \right); \quad (40)$$

$$\frac{d^2 B_x}{dx^2} = -\beta^2 (1 + t^2)^2 D_x; \quad (41)$$

$$\frac{d^2 C_x}{dx^2} = \beta^2 \left[\frac{t^4 - 1}{t(1 + t^2)} \operatorname{sh} t\beta x \sin \beta x + A_x \right]; \quad (42)$$

$$\frac{d^2 D_x}{dx^2} = \beta^2 \left[\frac{2(t^2 - 1)}{3t^2 - 1} \operatorname{ch} t\beta x \sin \beta x + \frac{1}{t} B_x \right]; \quad (43)$$

Подставив значения вторых производных функций A_x , B_x , C_x , D_x в уравнение (34) и умножив его на $-EI$, получим уравнение эпюры изгибающих моментов

$$M_x = M_0 \left[\frac{t^4 - 1}{t(1+t^2)} \operatorname{sh} t\beta x \sin \beta x + A_x \right] + \frac{Q_0}{\beta} \left(\frac{t^2 - 1}{3t^2 - 1} \operatorname{ch} t\beta x \sin \beta x + \right. \\ \left. + \frac{1}{t} B_x \right) + \beta^2 EI y_0 \frac{t^6 + 3t^4 + 3t^2 + 1}{1+t^2} C_x + \beta EI \varphi_0 (1+t^2)^2 D_x. \quad (44)$$

Третьи производные от функций A_x , B_x , C_x , D_x с учётом взаимосвязи $\frac{d^3 A_x}{dx^3}$ и B_x ; $\frac{d^3 B_x}{dx^3}$ и C_x ; $\frac{d^3 C_x}{dx^3}$ и D_x ; $\frac{d^3 D_x}{dx^3}$ и A_x запишем

$$\frac{d^3 A_x}{dx^3} = \beta^3 \left(\frac{t^8 + 4t^6 + 6t^4 + 4t^2 + 1}{3t^4 + 2t^2 - 1} B_x + \frac{2t^8 + 4t^6 - 4t^3 - 2}{3t^4 + 2t^2 - 1} \operatorname{sh} t\beta x \sin \beta x \right); \quad (45)$$

$$\frac{d^3 B_x}{dx^3} = -\beta^3 (1+t^2)^2 C_x; \quad (46)$$

$$\frac{d^3 C_x}{dx^3} = \beta^3 \left[\frac{2(t^2 - 1)}{t} \operatorname{sh} t\beta x \cos \beta x + (t^4 - 2t^3 - 3) D_x \right]; \quad (47)$$

$$\frac{d^3 D_x}{dx^3} = \beta^3 \left[\frac{t^5 + t^4 - t - 1}{2t(1+t^2)} + A_x \right]. \quad (48)$$

Подставив значения третьих производных функций A_x , B_x , C_x , D_x в уравнение (34) и умножив его на $-EI$, получим уравнение эпюры поперечных сил

$$Q_x = Q_0 \left[\frac{t^5 + t^4 - t - 1}{2t(1+t^2)} + A_x \right] + \beta^3 EI y_0 \left(\frac{2t^8 + 4t^6 - 4t^3 - 2}{3t^4 + 2t^2 - 1} \operatorname{sh} t\beta x \sin \beta x + \right. \\ \left. + \frac{t^8 + 4t^6 + 6t^4 + 4t^2 + 1}{3t^4 + 2t^2 - 1} B_x \right) + \beta^2 EI \varphi_0 (1+t^2)^2 C_x + \\ + \beta M_0 \left[\frac{2(t^2 - 1)}{t} \operatorname{sh} t\beta x \cos \beta x + (t^4 - 2t^2 - 3) D_x \right]. \quad (49)$$

Если в расчетной схеме (рис. 2) отсутствует растягивающее усилие N_0 , то уравнения эпюр деформаций и усилий y , φ , M и Q совпадают с решением А. А. Уманского для балки на упругом основании, нагруженной на конце изгибающим моментом M_0 и поперечной силой Q_0 [2]. Эти уравнения позволяют производить расчеты нагелей типа 2 (см. рис. 1).

Для балок на упругом основании характерно проявление краевого эффекта, т. е. затухание всех элементов изгиба балки, вызванного локальными усилиями, по мере удаления от места их приложения. Согласно [1] для полубесконечной балки протяженность $l_{кр}$ участка влияния усилий на конце балки

$$l_{кр} \approx (1,5 \dots 2,0) \sqrt{EI/K}. \quad (50)$$

Для различного вида нагелей $l_{кр} = 8 \dots 25$ см. Принятие длины нагеля более $l_{кр}$ в большинстве случаев связано с выполнением ими дополнительных функций и разного рода конструктивных требований.

Представление общего интеграла уравнения (1) по методу начальных параметров позволяет не только получить общий интеграл уравнения $EI \frac{d^4 y}{dx^4} - N_0 \frac{d^2 y}{dx^2} = P - Ky$, когда P дана в виде непрерывной функции x , но и учесть произвольную прерывную и сосредоточенную нагрузки, а также заранее заданную деформацию балки.

Учет растягивающей осевой силы N_0 целесообразен при $N_0 \geq \geq 0,8 \dots 1,0 \sqrt{KEI}$ [1].

Приведенное решение может быть использовано при учете влияния сдвига на изгиб. Второй член левой части формулы (1) принимает вид $\frac{KEId^2\gamma}{G\omega dx^2}$, что отразится на изменении значения коэффициента γ ($\gamma = \sqrt{KEI/(2G\omega)}$). Практически сдвиг целесообразно учитывать начиная с соотношения $\gamma > 0,2 \dots 0,3$ [1].

СПИСОК ЛИТЕРАТУРЫ

[1]. Справочник по строительной механике корабля. Т. 1.—Л.: Судостроение, 1982.—376 с. [2]. Уманский А. А. Специальный курс строительной механики. Ч. 1.—М.; Л.: ОНТИ, 1935.—238 с.

Поступила 19 июля 1991 г.

УДК 625.731.001.24

ИССЛЕДОВАНИЕ НАПРЯЖЕННО-ДЕФОРМИРОВАННОГО СОСТОЯНИЯ ДВУХСЛОЙНЫХ ЗИМНИХ ДОРОГ НА БОЛОТАХ

В. С. МОРОЗОВ

СевНИИП

К двухслойным зимним дорогам на болотах относятся конструкции, верхний слой которых представляет собой насыпь из минерального грунта, нижний — мерзлый торф. Основание дороги — талый торф, деформационные свойства которого характеризуются коэффициентом постели C .

Основные положения методики исследования напряженно-деформированного состояния зимних дорог на болотах приведены в работах [1, 2]. Для схемы, изображенной на рис. 1, имеем следующие расчетные зависимости:

нейтральная ось проходит по мерзлому минеральному грунту

$$B_1 E_0 [\nu^2 (3 - \nu) - (\nu - \nu_1)^2 (3 - \nu - 2\nu_1)] - B_2 E_{20} [(1 - \nu)^3 - (\nu - \nu_1)^2 (3 - \nu - 2\nu_1)] = 0; \quad (1a)$$

$$E_s = \{B_1 E_0 [\nu^3 (4 - \nu) - (\nu - \nu_1)^3 (4 - \nu - 3\nu_1)] + B_2 E_{20} [(1 - \nu)^4 - (\nu - \nu_1)^3 (4 - \nu - 3\nu_1)]\} / B; \quad (16)$$

по мерзлому торфу

$$B_1 E_0 [\nu^2 (3 - \nu) - (\nu - \nu_1)^2 (3 - \nu - 2\nu_1)] + B_2 E_{10} (\nu - \nu_1)^2 (3 - \nu - 2\nu_1) - B_2 E_{20} (1 - \nu)^3 = 0; \quad (2a)$$

$$E_s = \{B_1 E_0 [\nu^3 (4 - \nu) - (\nu - \nu_1)^3 (4 - \nu - 3\nu_1)] + B_2 E_{10} (\nu - \nu_1)^3 (4 - \nu - 3\nu_1) + B_2 E_{20} (1 - \nu)^4\} / B; \quad (26)$$

по границе между слоями

$$B_1 E_0 \nu^2 (3 - \nu) - B_2 E_{20} (1 - \nu)^3 = 0 \quad (3a)$$

$$E_s = B_1 E_0 \nu^3 (4 - \nu) - B_2 E_{20} (1 - \nu)^4 \quad (36)$$

Здесь

B_1, B_2 — ширина верхнего и нижнего слоев насыпи;
 E_0, E_{10}, E_{20} — модули упругости соответственно грунта, мерзлого торфа на сжатие и растяжение при температуре воздуха на поверхности проезжей части дороги;